

§ 4 Constrained shortest paths

4.1 Komplexität

(4.1 PROPOS. Das CSP ist schwer NP-vollständig)

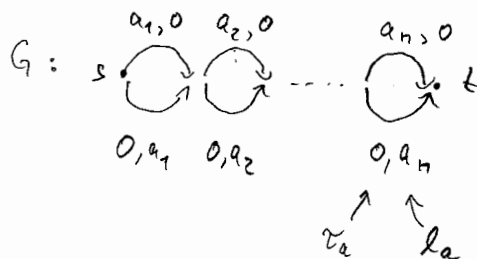
Beweis: Reduktion von PARTITION:

Geg. Zahlen a_1, \dots, a_n mit $\sum a_i = 2b$

Frage: Gibt es Indexmenge I mit $\sum_{i \in I} a_i = b$?

Sei I Instanz von PARTITION.

Konstruiere daraus Instanz I' von CSP:



Frage: Gibt es s, t Weg P mit $\tau(P) \leq b$, $l(P) \leq b$

Offenbar ist die Antwort auf diese Frage ja

$\Leftrightarrow \exists$ Indexmenge I mit $\sum_{i \in I} a_i = b$ \square

(4.2 PROPOSITION: CSP kann in pseudopolynomialer Zeit gelöst werden.)

Beweis: analog zu SUBSET SUM (Verallgemeinerung von PARTITION)

aus ADH I \square

Übung 4.1

4.2 Lösungsansätze

- 1) Beasley & Christofides 89 Branch & Bound + Lagrange Relaxation
- 2) Labeling Algorithmus (erweiterter Dijkstra)
Verwandtschaft zu Pareto-optimalen Wegen
- 3) Geometrisch (Kehlmann + Ziegelmann 2000) → § 4.4

4.2.1 Der Ansatz von Beasley & Christofides

Branch & Bound Baum $\hat{=}$ wie bei Telekommunikationsproblem aus ADP II alt
 $\hat{=}$ IP-Formulierung Festlegen von Kanten

Lagrange Relaxation:

$$\min \tau(P)$$

$$\text{so dass } l(P) \leq L$$

P ist Weg von s nach t

in Zielfkt

$$(LR\mu) \quad \min \underbrace{\tau(P) + \mu(l(P) - L)}_{\sum_{a \in P} (\tau_a + \mu \ell_a) - \mu L} =: \Lambda(\mu), \mu \in \mathbb{R}_+^1$$

$$\sum_{a \in P} (\tau_a + \mu \ell_a) - \mu L$$

Konstant für festes μ



Kürzester Weg bzgl. neuer Kantenbewertung $\tau_a + \mu \ell_a$

Sei P^* opt. Lösung des CSP und $\tau^* := \tau(P^*)$

Dann gilt (1) $\Delta(\mu) \leq \tau^* \quad \forall \mu \geq 0$

$$(2) \Delta^* := \max_{\mu \geq 0} \Delta(\mu) \leq \tau^*$$

Aufgabe 4.2	Ist P eine Optimallösung von (LR_{μ_0}) und $l(P) \leq L$	$\left. \begin{array}{l} ? \\ \Rightarrow P \text{ opt für CSPD} \end{array} \right\}$
-------------	--	--

$\tau^* - \Delta^*$ heißt Dualitätslücke (gap) Aufgabe 4.3 i.A ist gap > 0

Subgradientenverfahren analog zu ADM II, § 7.4

Ist P_{μ_0} kürzester Weg in (LR_{μ_0}) , so ist $l(P_{\mu_0}) - L$ (verbale Restr.) ein Subgradient in μ_0 von $\Delta(\mu)$

Geh Schritt in diese Richtung

$$\mu^{\text{neu}} = \mu^{\text{alt}} + \Theta(l(P_{\mu_0}) - L)$$



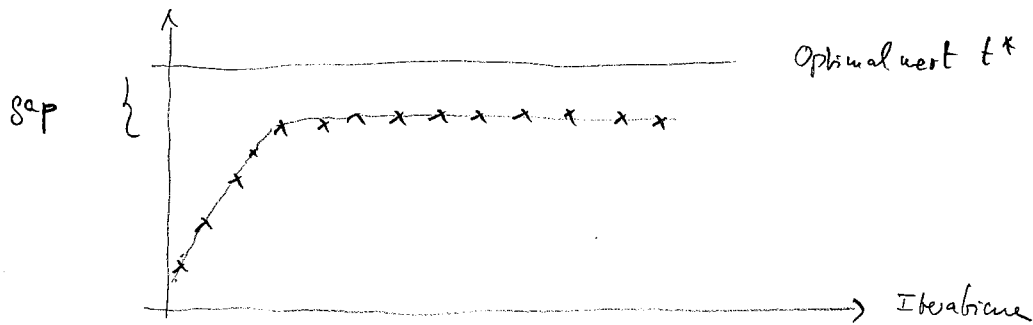
neue Kantenbewertung

$$\tau_a + \mu^{\text{neu}} l_a$$

Unterschied in Kantenbewertung gerade $(\mu^{\text{neu}} - \mu^{\text{alt}}) l_a$

↗
 dieselbe Zahl für alle Kanten

typischer Verlauf



4.2.2 Pareto-optimale Wege

Ges. $G = (V, A)$ $s, t \in V$

Für jede Kante a ein r -dim Belebensvektor $\lambda(a) = \begin{pmatrix} \lambda_1(a) \\ \vdots \\ \lambda_r(a) \end{pmatrix} \geq 0$

Länge $\lambda(P)$ eines Weges P ist

$$\lambda(P) = \sum_{a \in P} \lambda(a) = \begin{pmatrix} \sum_{a \in P} \lambda_1(a) \\ \vdots \\ \sum_{a \in P} \lambda_r(a) \end{pmatrix} =: \begin{pmatrix} \lambda_1(P) \\ \vdots \\ \lambda_r(P) \end{pmatrix}$$

hier unterschiedliche Operatoren möglich

$\Sigma, \max, \min \dots$

[allgemein: Semiringe]

Gesucht: Alle Pareto-optimale s, t Wege



P heißt Pareto-optimal

$\Leftrightarrow \nexists$ Weg P' mit $\lambda(P') \leq \lambda(P)$ und $\lambda_i(P') < \lambda_i(P)$ für ein i

Komponentenweise Ordnung

(keine Dominanz)

Anwendungen: Nutzbarkeit: Zeit, Entfernung, verbrauchte Strecken als Kriterien
 Bahn Zeit, Kosten, # Umstiege

Der Dijkstra Algorithmus für Pareto-optimale Wege

zunächst Wh: Dijksta für kürzeste Wege ($\lambda_a \geq 0$)

- berechnet für jeden Knoten v eine Distanz $d[v]$
 $\hat{=}$ Länge kürzestes Weg von s zu v
 + einen Knoten Vorgänger $[v]$, der Vorgänger von v auf kürzestem Weg von s zu v ist
- Werte $d[v]$, Vorgänger $[v]$ sind zunächst verlaßig
 Im Lauf des Algorithmus werden Knoten markiert, für markierte Knoten sind diese Werte eingeschränkt

Initialisierung:

$$d[v] := \begin{cases} 0 & v = s \\ \lambda(s, v) & \text{falls Kante } (s, v) \text{ exist.} \\ \infty & \text{sonst} \end{cases}$$

$$\text{Vorgänger}[v] := \begin{cases} s & \text{falls Kante } (s, v) \text{ exist} \\ \infty & \text{sonst} \end{cases}$$

nu s markiert

Hauptschleife

while \exists unmarkierten Knoten do

wähle unmarkierten Knoten v mit kleinstem $d[v]$
markiere v

for alle Kanten (v,w) mit unmarkiertem w do

if $d[v] + \lambda_{(v,w)} < d[w]$ then

$d[w] := d[v] + \lambda_{(v,w)}$

$Vergänge[w] := v$

end if

end for

end while

Variation des Dijkstras für Pareto-optimale Wege [Theune 95]

statt $d[v]$ r -dim Vektoren $d[v] = \begin{pmatrix} d_1[v] \\ \vdots \\ d_r[v] \end{pmatrix}$ $d_k[v]$ bzgl. λ_k

In jedem Knoten mehrere $d[v]$ möglich,

\Rightarrow bisher ermittelten Pareto-optimalen s,v -Wege

Initialisierung

$$d[v] := \begin{cases} \begin{pmatrix} 0 \\ \vdots \\ 0 \end{pmatrix} & \text{falls } v=s \\ \lambda_{(s,v)} & \text{falls } (s,v) \text{ Kante} \\ \begin{pmatrix} \infty \\ \vdots \\ \infty \end{pmatrix} & \text{sonst} \end{cases}$$

Markierung Knoten \rightarrow Markierung von Vektoren $d[v]$

Regel: Wähle lexikographisch kleinster unmarkierter Vektor $d[v]$ als nächster zu markierenden Vektor

Aktualisierung der $d[w]$:

Brachte zu gewähltem $d[v]$ alle Kanten (v, w)

nehme $d[v] + \lambda_{(v,w)}$ zu den Bereichs in w

abgespeicherten Vektoren hinzu und schreibe nicht Pareto-optimale und aktualisere ggf. $\text{Verg}\lambda(d[w])$

Anfangs neu $d[s]$ markiert

Hauptschleife

while { unmarkierten Vektor do

wähle lexikographisch kleinsten unmarkierten Vektor $d[v]$
markiere diesen Vektor

Sei v der zugehörige Knoten

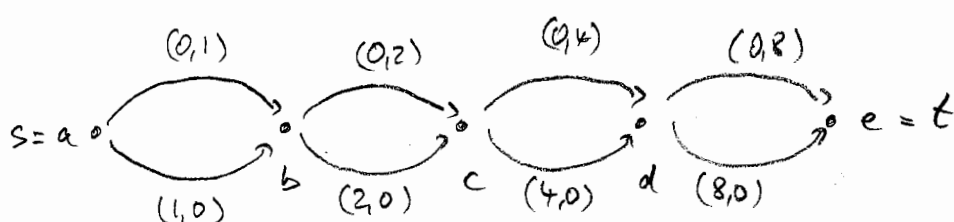
for alle Kanten (v, w) do

nehme $d[w] := d[v] + \lambda_{(v,w)}^{(w)}$ den Vektoren von w hinzun;

schreibe nicht Pareto-optimale bei w ;

falls $d[w]$ nicht gestrichen wird, so setze $\text{Verg}\lambda(d[w]) := d[v]$

Beispiel:



Pareto Optima:

a	b	c	d	e
(0,0)	(0,1)	(0,3)	(0,7)	(0,15)
	(1,0)	(2,1)	(4,3)	(8,7)
		(1,2)	(1,6)	(1,14)
		(3,0)	(5,2)	(9,6)
			(2,5)	(2,13)
			(6,1)	(10,5)
			(3,4)	(3,12)
			(7,0)	(11,4)
				(4,11)
				(12,3)
				(5,10)
				(13,2)
				(6,9)
				(14,1)
				(7,8)
				(15,0)

$2^0 \quad 2^1 \quad 2^2 \quad 2^3 \quad 2^4$

exponentielles Wachstum \Rightarrow exponentielle Algorithmen

Korrektheit analog zu normalem Dijkstre per Induktion:

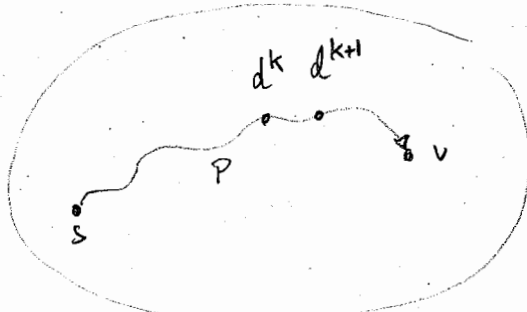
nach # Markierungen:

Sobald Vektor markiert, gehört er zu einer der Pareto-Optima zum zugehörigen Knoten

Beweis: Betrachte Zeitpunkt an dem $d[v]$ gewählt wird

Ann. $d[v]$ nicht Pareto-optimal in v

$\Rightarrow \exists \begin{cases} \text{Pareto-optimal} \\ \text{Weg } P \text{ von } s \text{ nach } v \end{cases}$ mit $\lambda(P) \leq d[v]$



P Pareto-optimal $\lambda \geq 0$

\Rightarrow Bruchstücke von P ebenfalls
Pareto-optimal

(*)

Seien $s = v_1, v_2, \dots, v_m = v$ die Zwischenknoten auf dem Weg P

und d^1, d^2, \dots, d^m die zugehörigen Pareto-optimalen

Bewertungsvektoren, also $d^i = d^{i-1} + \lambda_{(v_{i-1}, v_i)}$. Dann ist $d^m \leq d[v]$.

Sei d^k der letzte Vektor des Bereichs markiert ist zum Zeitpunkt
der Auswahl von $d[v]$ (exist, da $d^1 = d[s]$ markiert)

$\Rightarrow k < m$, da sonst $d^m \leq d[v]$ bereits bei v markiert wäre.

\Rightarrow Zum Zeitpunkt des Ankommens von d^k wird $d^{k+1} = d^k + \lambda_{(v_k, v_{k+1})}$ in
 v_{k+1} hinzugefügt und ist Pareto-optimal und bleibt bis zu
Wahl von $d[v]$ unmarkiert (nach Wahl des Index k).

Dann ist $d^{k+1} \leq d^m \leq d[v]$

$\Rightarrow d^{k+1} <_{lex} d[v] \Rightarrow$ widersprich zu Auswahlregel

\Rightarrow jeder markierte Vektor ist Pareto-optimal

Indriger Beweis: jeder Pareto-optimum wird im Algorithmus konstruiert. □

Frage: Wie groß wird die maximale Anzahl der Pareto-Optima?

Annahme: $\lambda_k(a) \in \mathbb{Z}_+$

$L_k(v) :=$ Maximale Weglänge (elementare Wege) von s nach v

$\text{pareto}(v) := \# \text{ Pareto Optima in } v$

$$\boxed{\text{pareto}(v) \leq \prod_{k=1}^r L_k(v)}$$

\Rightarrow $\text{pareto}(v)$ ist polynomial in n , falls $\lambda_k(a)$ polynomial in n
und r fest ist \Rightarrow Algorithmus polynomial

etwa: $\lambda_k(a) \leq n \Rightarrow L_k(v) \leq (n-1)n \leq n^2 \Rightarrow \text{pareto}(v) \leq n^{2r}$

$$\lambda_k(a) \leq L_0 \Rightarrow \text{pareto}(v) \leq (L_0(n-1))^r$$

erfüllt in Straßennetz ($\leq 1000m$), $n \approx 10.000$ in Berlin

Anwendung bei CSP

[Azeja, Isgarwal & Nair 1983]

$\min \tau(P)$ unter $\ell(P) \leq L$ P s.t. Weg

Kantenbewertung $\lambda(a) = \begin{pmatrix} \tau_a \\ \ell_a \end{pmatrix}$

Pareto Dijkstra anwenden

Vektoren $d[v] = \begin{pmatrix} \tau \\ \ell \end{pmatrix}$ bewerfen, falls $\ell > L$

\Rightarrow liefert alle Pareto Optima mit $\ell \leq L$

\Rightarrow lex.-kleinstes Pareto-optimum ist Optimallösung von CSPD
(Abweichen falls t zum erstenmal erreicht)

Praktische Erfahrung:

2 Subgradientenschritte	\gtrsim	Pareto Optimalen	(ungefähr gleich)
² approximiert		¹ Optimal	max. Unterschied Faktor 1 - 20

für mehr Schritte deutlich schlechter!

4.3 Approximation Pareto-optimaler Wege

1. Gewichtete Summe der Kriterien (Jaffe 84)

Zulässigkeitsproblem

$$\text{Gegeben: } \begin{pmatrix} L_1 \\ \vdots \\ L_r \end{pmatrix} \quad \text{Finde Weg } P \text{ mit } \lambda(P) \leq \begin{pmatrix} L_1 \\ \vdots \\ L_r \end{pmatrix}$$

} Transformation

$$\text{Kürzeste Wege Problem bzgl. } \lambda'(a) := \alpha_1 L_1(a) + \dots + \alpha_r L_r(a)$$

↑ ↑
Gewichte, die von L_1, \dots, L_r abhängen

i.q. nur schlechte Approximationen

$$\text{Bsp.: } \alpha_1 \leq \alpha_2 \Rightarrow (0,15) \text{ wird berechnet im Beispiel}$$

schlecht für $L_1 = 7 \quad L_2 = 8$

allgemein gilt [Theune 95]

$$\text{Sei } P^* \text{ Pareto optimal mit } \lambda(P^*) \leq \begin{pmatrix} L_1 \\ \vdots \\ L_r \end{pmatrix}$$

Sei P' der bzgl. λ' mit $\alpha_1 = \dots = \alpha_r = 1$ berechnete kürzeste Weg

$$\text{Dann ist } \max_k \lambda(P') \leq r \cdot \max_k L_k \quad (\text{i.a. scharf})$$

im Bsp ist für $\alpha_1 = \alpha_2$ der Weg P' über die oberen Kanten ein kürzester und $\max_k \lambda(P') = 15 \leq 2 \cdot \max \{ 7, 8 \}$

2. Einfache Skalierung der Längen [Theorie 95]

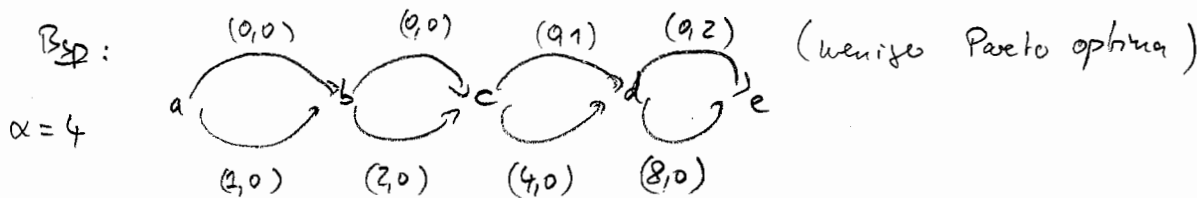
Skalare $\lambda(a) = \begin{pmatrix} \lambda_1(a) \\ \vdots \\ \lambda_r(a) \end{pmatrix}$ auf den weniger wichtigen Kriterien



$$\lambda'(a) = \left(\lambda_1(a), \left\lfloor \frac{\lambda_2(a)}{\alpha} \right\rfloor, \dots, \left\lfloor \frac{\lambda_r(a)}{\alpha} \right\rfloor \right)^T \quad \alpha > 1$$

\Rightarrow pareto(v) wird kleiner!

Skalierung erhält Ordnung \Rightarrow Berechnete pareto-optimalen Wege bzgl λ' sind "natürliche" pareto-optimal bzgl. λ



Pareto Optimal bzgl λ'				
a	b	c	d	e
(0,0)	(0,0)	(0,0)	(0,1)	(0,3)
			(4,0)	(8,1)
				(4,2)
				(12,0)

eigentl. Pareto Optimal bzgl λ				
a	b	c	d	e
(0,0)	(0,1)	(0,3)	(0,7)	(0,15)
			(4,3)	(8,7)
				(4,11)
				(12,3)

ergibt Teilmenge Y aller Pareto Optimal X

Genauer:

in pareto-opt. Weg P mit Bewertung $d \in X$
 exist Pareto-opt. Weg P' mit Bewertung $d' \in Y$
 mit $|d_k - d'_k| \leq l(\alpha-1) \quad k = 1, \dots, r$
 \uparrow
 # Kanten von P'

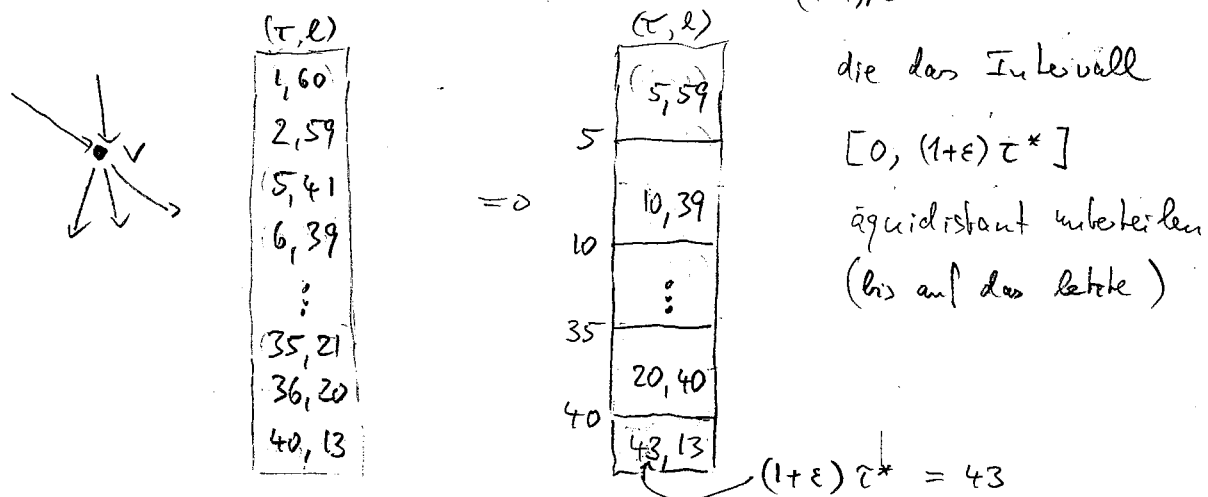
← pessimistisch
aber i.d.scharf

$$\text{Bsp } d = (9,6) \rightsquigarrow d' = (8,7) \\ (13,2) \rightsquigarrow (12,3)$$

3. Ein voll-polynomiales Approximationsschema [Hassin 92]

Annahme: kennen den Optimalwert τ^* eines besten Längenbeschränkten s,t Weges

Idee: legen in jedem Knoten Schubfächer der Länge $\frac{\tau^*}{(n-1)/\varepsilon}$ für Labels an,



In Schubfach i : alle Labels von v mit τ -Wert im Intervall

$$\left[(i-1) \cdot \frac{\tau^*}{(n-1)/\varepsilon}, i \cdot \frac{\tau^*}{(n-1)/\varepsilon} \right]$$

Algorithmus: ε -Schubfach Dijkstra

- Gehe vor wie beim verallgemeinerten Dijkstra Algorithmus
- Trick: gebe pro Schubfach nur ein Label weiter: das bzgl. ℓ -Wert beste Label (sofern $\ell \leq L$)
- Runde den τ -Wert des Labels auf die obere Grenze des Schubfaches
- Wähle am Ende den Weg mit kleinstem τ -Wert



Gefundener Weg ist zulässig bzgl. Längenbeschränke L
(aber i.a. nicht optimal)

Algorithmus hat nur 1 Label pro Schubfach

$$\Rightarrow \leq (1+\varepsilon)\tau^* / \left(\frac{\tau^*}{(n-1)/\varepsilon} \right) = \frac{(1+\varepsilon)(n-1)}{\varepsilon}$$

viele Labels pro Knoten
(polynomial in n und $\frac{1}{\varepsilon}$)

4.3 LEMMA: Der von ε -Schufel Dijkstra gefundene Weg hat maximal einen um den Faktor $(1+\varepsilon)$ höheren τ -Wert als der kürzeste Längenbeschränkte Weg.

ist Längenbeschränkt und

Beweis: Sei P_ε der vom ε -Dijkstra gefundene Weg, und P^* ein optimales Weg. P^* ist elementar $\Rightarrow \leq n-1$ Kanten. Der ε -Dijkstra macht bei P^* pro Kante Rundungsfehler im τ -Wert \leq Intervall-Länge $= \frac{\tau^*}{(n-1)/\varepsilon}$

$$\Rightarrow \text{Gesamtfehler} \leq (n-1) \frac{\tau^*}{(n-1)/\varepsilon} = \tau^* \cdot \varepsilon \quad \text{bgl. } P^*$$

$$\Rightarrow \tau(P_\varepsilon) \leq \tau(P^*) \leq \tau^* + \tau^* \cdot \varepsilon = (1+\varepsilon)\tau^*$$

↑
da P_ε kürzester Weg im ε -Dijkstra

Problem: kennen τ^* nicht

\Rightarrow binäre Suche verwenden, obere Schranke für τ^* ist $(n-1) \cdot \tau_{\max}$

kein längenbeschränkte Weg für aktuelles τ gefunden

\Rightarrow rechts weitersuche

Weg gefunden \Rightarrow links weitersuche

$\Rightarrow \log((n-1)\tau_{\max})$ viele Aufrufe von ε -Schufel Dijkstra

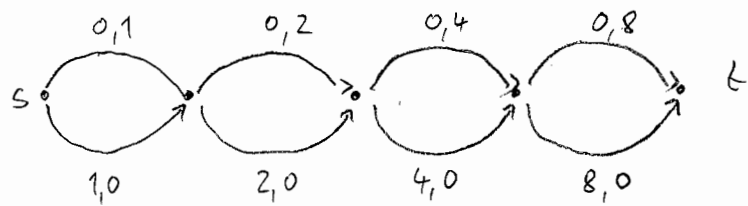
\Rightarrow Laufzeit polynomial in n und $\frac{1}{\varepsilon}$

Beispiel: vom Pareto Dijkstra mit $L=7$, $\tau^*=8$, $\varepsilon=1$

$$\Rightarrow \text{Intervall-Länge} \frac{\tau^*}{(n-1)/\varepsilon} = \frac{8}{4} = 2$$

abzudeckendes Intervall $[0, (1+\varepsilon)\tau^*] = [0, 16]$

4-16



$$L = 7$$

$$\varepsilon^* = 8$$

violate length bound $L = 7$

← better Weg (approx.)

$\frac{2,0}{2}$	$\frac{2,2}{4}$	$\frac{2,6}{4,4}$	$\frac{2,14}{4,12}$
4	4	6,2	6,10
6	6	8,0	8,8
8	8		10,6
			12,4
			14,2
			16,0

4.4 Die zwei-Schritt-Methode von Heldtken & Ziegelmann [2000]

inbegriffen Weg-basierte IP-Formulierung und LP-Relaxation

O,I Variable x_p für jeden st-Weg $\tau_p := \sum_{a \in P} \tau_a$, $l_p := \sum_{a \in P} l_a$

\Rightarrow Primaler IP:

$$\begin{array}{ll} \min & \sum_p \tau_p x_p & \leftarrow \tau_p \text{ minimieren} \\ \text{unter} & \sum_p l_p x_p \leq L & \leftarrow \text{Längenbeschränkung einhalten} \\ & \sum_p x_p = 1 & \left. \right\} \leftarrow \text{nur ein zulässiger Weg} \\ & x_p \in \{0,1\} & \text{in Lösung} \end{array}$$

LP Relaxierung:

$$\begin{array}{ll} \min & \sum_p \tau_p x_p \\ \text{unter} & -\sum_p l_p x_p \geq -L \\ u: & \sum_p x_p = 1 \\ & x_p \geq 0 & \leftarrow x_p \leq 1 \text{ hält im Optimum automatisch ein}, \\ & & \text{da } \tau_p \geq 0 \end{array}$$

Dualer LP:

$$\begin{array}{ll} \max & u - Lv \\ \text{unter} & u - l_p v \leq \tau_p \quad \forall p \\ & v \geq 0, u \text{ nicht verzeihlich beschränkt} \end{array}$$

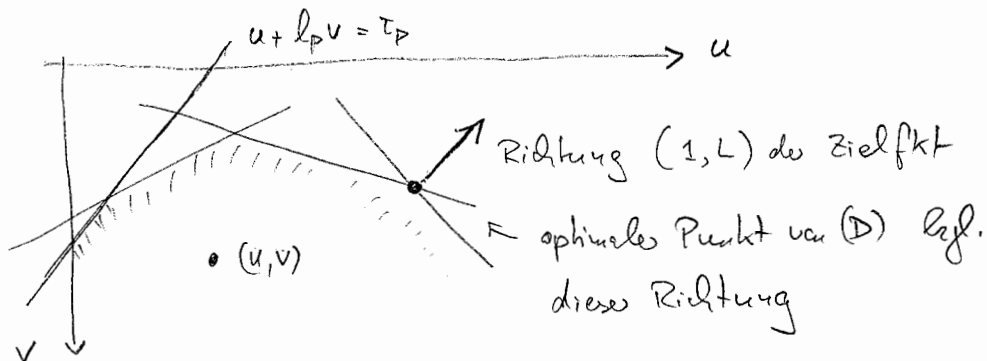
Ersetzung $v \rightarrow -v$ ergibt

$$\begin{array}{ll} \max & u + Lv \\ \text{unter} & u + l_p v \leq \tau_p \quad \forall p \\ & v \leq 0, u \text{ nicht verzeihlich beschränkt} \end{array} \quad (D)$$

Standardinterpretation von (D) als 2-dim LP

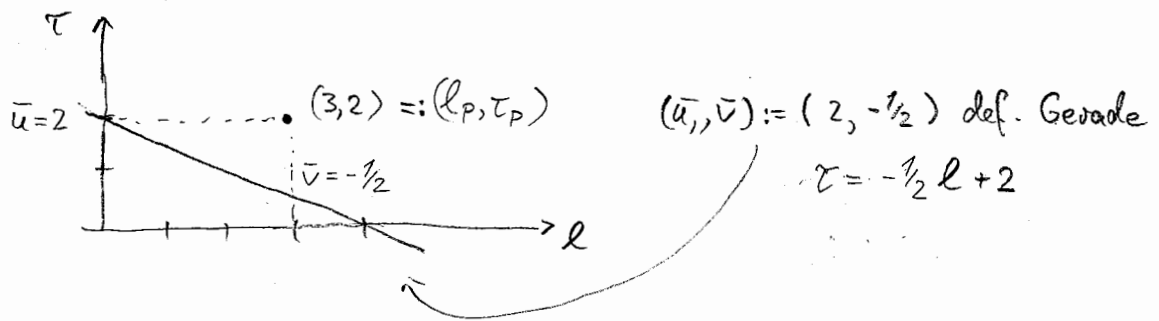
Nebenbedingungen = Halbebenen

Werte der Dualvariablen (u, v) = Punkte in der Ebene



andere, geometrisch dualer Interpretation:

- Paar (u, v) als Gerade $\tau = v \cdot l + u$ in der (l, τ) Ebene außerhalb
- Nebenbedingung $u + l_p v \leq t_p \Leftrightarrow$ Punkt (l_p, t_p) liegt auf Pflad P
- Ungleichung $\bar{u} + l_p \bar{v} \leq t_p$ erfüllt für Werte \bar{u}, \bar{v} von u, v
 $\Leftrightarrow (l_p, t_p)$ liegt oberhalb der Geraden $\tau = \bar{v} l + \bar{u}$

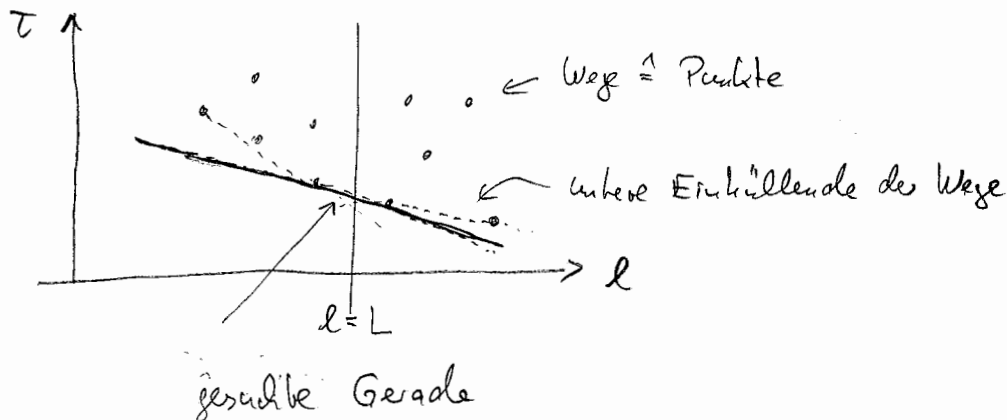


Punkt $(3, 2)$ liegt oberhalb von $\tau = -\frac{1}{2} l + 2$

$$\Leftrightarrow 2 \geq \underbrace{-\frac{1}{2} \cdot 3 + 2}_{0,5}$$

- Optimierung $\hat{=}$ Ende eines Paars u^*, v^* bzw. einer Geraden $\tau = v^* \cdot l + u^*$ mit nicht-positiver Steigung ($v^* \leq 0$)
 so dass:

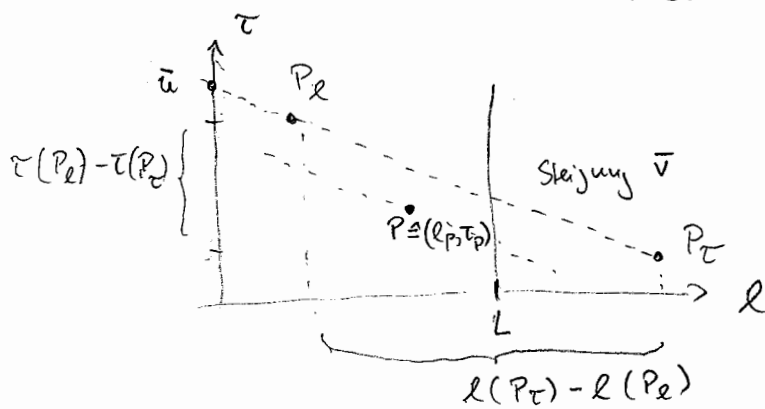
1. alle Punkte (l_p, τ_p) , Punktweg, liegen oberhalb dieser Geraden
2. Der Schnittpunkt der Geraden $\tau = v^* l + u^*$ mit der Geraden $l = L$ ist so groß wie möglich, dann der Schnittpkt hat den Wert $v^* L + u^* = \text{Zielfkt. von } D$



Konstruktion dieses optimalen Geraden erfolgt mit dem Hüllenausbau

Konstruktion des unteren Enthüllenden bei $l=L$

1. Berechne kürzesten Weg $P_{l_{\min}}$ bzgl l
 if $l(P_{l_{\min}}) > L$ then return "keine zulässige Lösung"
 else $UB := \tau(P_{l_{\min}})$; // $UB \hat{=} \text{obere Schranke für optimalen Weg}$
2. Berechne kürzesten Weg $P_{\tau_{\min}}$ bzgl τ
 if $l(P_{\tau_{\min}}) \leq L$ then return $P_{\tau_{\min}}$ // optimal
 else $P_r := P_{\tau_{\min}}; P_e := P_{l_{\min}}$ // Initialisierung P_r, P_e
 // P_r und P_e erzeugen erste Gerade $\tau = \bar{v} \cdot l + \bar{u}$ mit
 // Steigung $\bar{v} = \frac{\tau(P_r) - \tau(P_e)}{l(P_r) - l(P_e)} < 0$



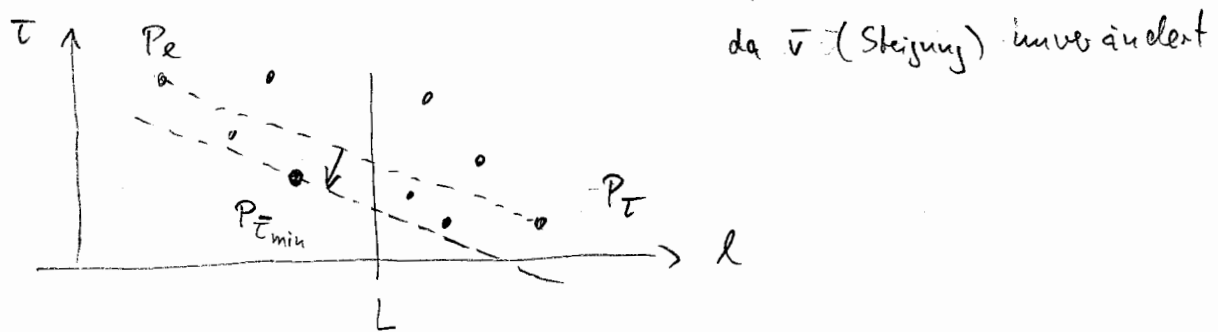
2. Prüfe ob es Punkte unterhalb der Geraden gibt.

Ein solcher Punkt entspricht einem Weg P mit

$$\bar{v}l_p + \bar{u} > \bar{\tau}_p \Leftrightarrow \bar{\tau}_p - \bar{v} \cdot l_p < \bar{u}$$

und kann durch kürzeste Wege-Berechnung bzgl. $\underbrace{\bar{\tau}_a - \bar{v}l_a}_{\geq 0 \text{ wegen } \bar{v} \leq 0} =: \bar{\tau}_a$ berechnet werden

Graphisch entspricht dies einer Parallelverschiebung der Geraden auf einen extremalen Punkt (dem Kürzesten Weg)

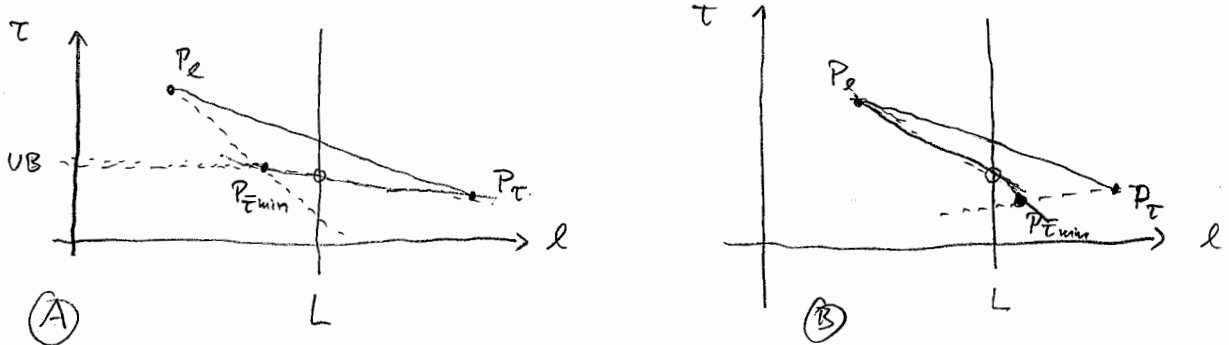


Sei $P_{\bar{\tau}_{min}}$ der neue Weg/Punkt bzgl. $\bar{\tau}_a := \bar{\tau}_a - \bar{v}l_a$

if $\bar{\tau}(P_{\bar{\tau}_{min}}) = \bar{u} \Rightarrow P_{\bar{\tau}_{min}} \text{ liegt auf der alten Geraden}$
 $\Rightarrow \text{alle Gerade ist optimal,}$
 $\text{Schriftpunkt mit } l=L \text{ ist Optimum}$

else weiter suchen in 3

3. aktualisiere die alte Gerade durch eine der beiden Geraden durch P_e und $P_{\bar{\tau}_{min}}$ oder $P_{\bar{\tau}_{min}}$ und P_T



Frage: Welche der beiden Geraden ist besser, d.h. Schnittpunkt ist höher auf \mathbb{L} ?

hängt offenbar von der Lage des Punktes $P_{\bar{\tau} \text{ min}}$ ab:

- (A) links von L (d.h. $\tau(P_{\bar{\tau} \text{ min}}) \leq L$) \Rightarrow ① ist besser
- (B) rechts von L (d.h. $\tau(P_{\bar{\tau} \text{ min}}) > L$) \Rightarrow ② ist besser

①: setze $P_e := P_{\bar{\tau} \text{ min}}$; $VB := \tau(P_{\bar{\tau} \text{ min}})$

und iteriere mit neuem Geraden $\overline{P_e, P_T}$

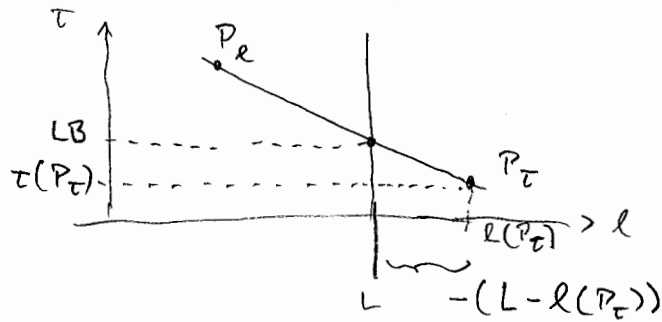
②: setze $P_T := P_{\bar{\tau} \text{ min}}$, VB kann nicht aktualisiert werden
 iteriere mit neuem Geraden $\overline{P_e, P_T}$ da $l(P_{\bar{\tau} \text{ min}}) > L$
 nicht länger-
 beschränkt

Ablösch erfolgt in dem Fall, dass die Parallelverschiebung
 der aktuellen Geraden $\tau = \bar{v} \cdot l + \bar{u}$ keine Verbesserung
 ergibt.

Untere Schranke LB an das Optimum des IP ergibt sich aus

$$LB = \bar{v} \cdot (L - l(P_T)) + r(P_T)$$

mit \bar{v} = Steigung der finalen Gerade = $\frac{r(P_T) - r(P_e)}{l(P_T) - l(P_e)}$



Untere Schranke LB an OPT des CSP

"

Opt.-Wert des LP-Relaxations

" Opt.-Wert des Lagrange-Relaxations, da relaxiertes Problem

in der Lagrange Relaxation ganzzahlige Ecken hat

(ist kürzeste Wege Problem, in Kantenformulierung
vollständig unimodular)

Insgesamt bleibt also dieselbe "Dualitätslinke" wie bei der
Lagrange-Relaxation. Allerdings kann die Laufzeit besser
abgeschätzt werden

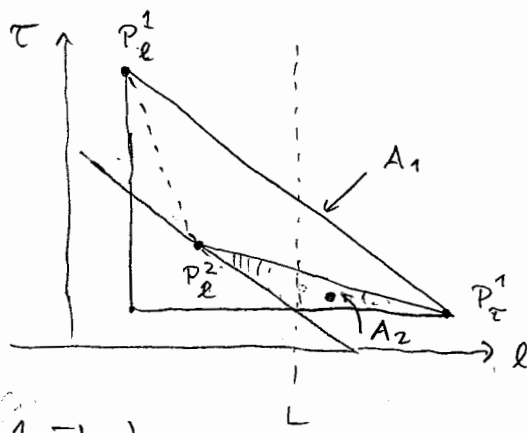
4.4 Satz (Feldkorn & Ziegelmann 00): Der Hüllensatz arbeitet
korrekt und hat eine Laufzeit von

$$\underbrace{O(\log(n t_{\max} l_{\max}))}_{\# \text{ Iterationen}} \cdot \underbrace{(n \log n + m)}_{\text{kürzeste Wege Berechnung}}$$

mit $t_{\max} := \max_a t_a$, $l_{\max} := \max_a l_a$

Beweis: Korrektheit klappt aus den vorangegangenen Überlegungen

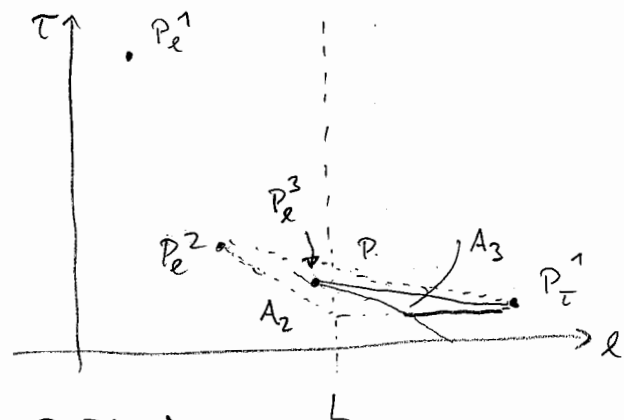
zu Laufzeit: geht über die Größe der "unefischten" Gebiete von noch möglichen Punkten unterhalb der momentanen Geraden



1. Iteration

Zu Beginn können unentdeckte Punkte im Dreieck A_1 . Nach Parallelverschiebung des Geraden $\overline{P_e^1 P_t^1}$ zum Punkt P_e^2 können

unentdeckte Punkte nur noch im Dreieck A_2 liegen



2. Iteration

Jetzt wird P_e^3 gefunden und die Fläche verkleinert sich weiter

Fläche eines Dreiecks ist maximal $\frac{1}{2} \cdot (n \cdot l_{\max}) \cdot (n \cdot t_{\max})$
und minimal $\frac{1}{2}$, da alle Daten (\Rightarrow Punkte) ganzzahlig sind

Für Iterationen i und $i+1$ des Hüllenausbauers gilt

$$A_{i+1} \leq \frac{1}{4} A_i$$

AUFGABE 4.4

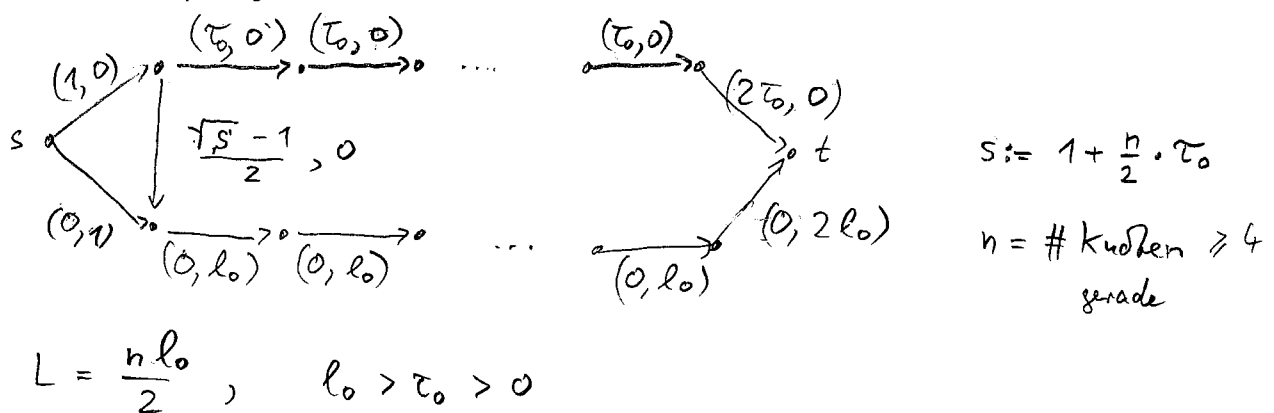
\Rightarrow maximal N Iterationen bis $\frac{1}{2} \geq \left(\frac{1}{4}\right)^N \frac{1}{2} n^2 l_{\max} t_{\max}$

$\Rightarrow O(\log(n l_{\max} t_{\max}))$ Iterationen \square

Bemerkung: kann zeigen dass $\mathcal{O}(m \log^2 m)$ Iterationen reichen
(Füttner 03) \Rightarrow streng polynomialer Algorithmus

Insgesamt bestimmt der Hüllensatz eine obere Schranke UB und eine untere Schranke LB für das Optimum des CSP
Die Größe der Schranken kann allerdings i. d. beliebig schlecht werden

4.5 BEISPIEL:



Hüllensatz findet $UB = s$ und $LB = \frac{s}{T}$ mit $T := 1 + \frac{n}{2} \cdot l_0$

Optimale Kosten liegen bei $\frac{\sqrt{s+1}}{2}$

\Rightarrow nur $\Omega(\sqrt{n \cdot T_0})$ Approximationsgüte (\Rightarrow ergibt sich aus $\frac{OPT}{LB}$)

AUFGABE 4.5

Schließen der Lücke zwischen LB und UB:

z.B. durch Pareto Dijkstra, wobei Label (τ, l) verworfen werden können, wenn $\tau \geq UB$, $\tau < LB$ oder $l > L$ ist

\Rightarrow wesentliche Beschleunigung, kleinere Labellisten an Knoten und Gesamtlaufzeit mit am besten

4.5 Anwendung auf das Constrained System Optimum

$$\min \sum_a \tau_a(x_a(f)) \cdot x_a(f)$$

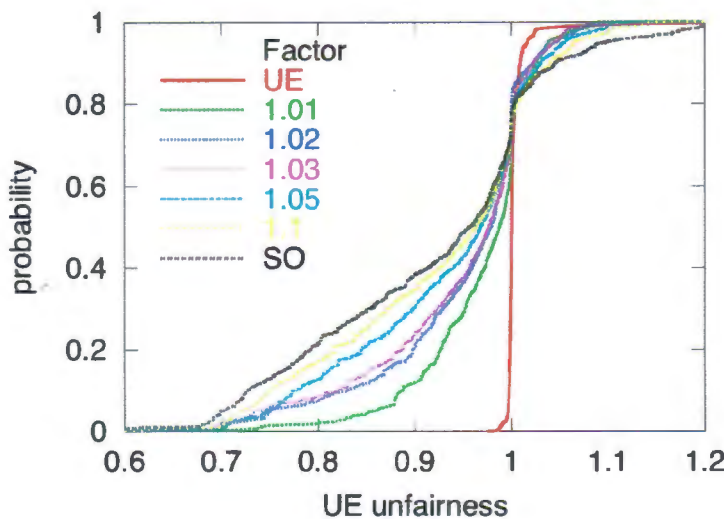
$$\text{unter } \sum_{P \in P_k^E} f_P = d_k \\ f_P \geq 0$$

→ lineares Problem im
Bergeysverfahren zerfällt
in k CSP-Probleme

Ergebnisse: Paper Jahn, M., Schulz, Stier → www

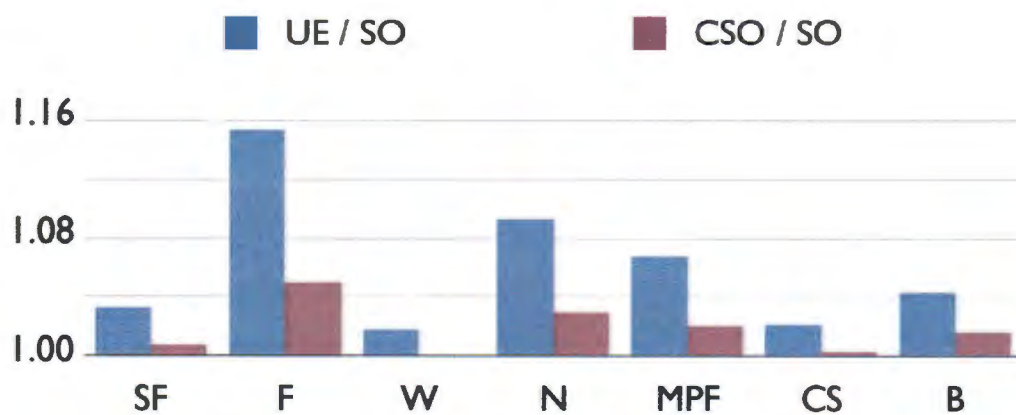
CPP gelöst mit Pareto Dijkstra

Analysis of fairness



- 75% of the users travel less than in equilibrium
- Only 0.4% of the users travels 10% more than in equilibrium
in SO mehr als 5%

Results



SF Sioux Fall
 F Friedrichshain
 W Winnipeg

N Neukölln
 MPF Berlin Mitte
 CS Chicago Sketch

B = Berlin